



## مقاله پژوهشی

## پراکندگی و توزیع ژئوشیمیایی عناصر کمیاب و کانساری در کانسار رگه‌ای چاه‌مسی، شمال شهر بابک

سارا درگاهی<sup>\*</sup>، مریم سروزی‌زاده و محسن آروین

گروه زمین‌شناسی، دانشکده علوم، دانشگاه شهید باهنر کرمان، کرمان، ایران

دریافت مقاله: 1397/01/02، پذیرش: 1398/08/19

### چکیده

کانسار رگه‌ای چندفلزی چاه‌مسی در کمربند مس کرمان و مجموعه ماگمایی ارومیه-دختر واقع شده است. در این محدوده، سنگ‌های میزان شامل سنگ‌های آتشفسنایی و آذرآواری است که بهشت تحت تأثیر دگرسانی گرمابی پروپلیتیک با چیرگی کربنات-کلریت قرار گرفته‌اند. کانی‌های پیریت، کالکوپیریت، گالن و اسفالریت، سولفیدهای اصلی در ذخیره چاه‌مسی هستند که با دگرسانی سیلیسی و رسی همراه می‌شوند. همچنین در بخش سوپرژن و زون اکسیدان، کالکوسیت، مالاکیت، کوولیت، آزوریت و اکسیدها و هیدروکسیدهای آهن دیده می‌شود. در بررسی ضرایب همبستگی عناصر به روش پیرسون، بیشترین میزان ضریب همبستگی مربوط به عناصر Ag-Au و Pb-Zn با میزان بیشتر از 0/7 است و در درجه بعدی اهمیت زوج عناصر Cu-Ag، Cu-Fe، Cu-Au و Fe-Ag با میزان ضریب همبستگی بیشتر از 0/6 قرار می‌گیرند؛ در حالی که همبستگی عنصر Mo با دیگر عناصر ضعیف است. تحلیل خوشای نیز نتایج مشابهی به دست می‌دهد. به‌نظر می‌رسد، فراوانی رگه‌های حاوی کانه‌زایی عناصر فلزی سرب، روی و طلا اغلب در ترازهای سطحی تر رخداده است؛ در حالی که رگه‌های حاوی کانه‌زایی مس و نقره، علاوه‌بر ترازهای سطحی، در ترازهای عمقی تر نیز دارای تمرکزهای قابل توجهی هستند. این یافته‌ها بیانگر احتمال وجود عیارهای قابل قبول در عمق بیشتر کانسار چاه‌مسی و در نتیجه الزام ادامه عملیات حفاری است. عیار بالای عنصر مولیبدن در ترازهای سطحی به نظر می‌تواند به علت همپوشانی هاله‌های ژئوشیمیایی اولیه رگه‌های مختلف و یا تأثیر میزان پیریت، درجه pH و درجه قلیائیت سیال بوده باشد.

**واژه‌های کلیدی:** ضریب همبستگی، منطقه‌بندی، کانسار رگه‌ای، چندفلزی، چاه‌مسی، کمان ماگمایی ارومیه- دختر

### مقدمه

قرار گرفت، نظریه منطقه‌بندی هاله‌های ژئوشیمیایی اولیه بود (Gong et al., 2016). این نظریه که کاربردهای بسیار مهمی در اکتشاف مناطق دارای پتانسیل معدنی دارد (Li et al., 1995; Shao, 1997; Harraz and Hamdi, 2015) بررسی توزیع و تغییرات عیار عناصر در کانسارهای گرمابی از دیرباز مورد توجه بوده است (Harraz, 1995)؛ به‌طوری که یکی از مهم‌ترین مباحثی که در این زمینه مطرح شد و مورد توجه

\*مسئول مکاتبات: s.dargahi@uk.ac.ir

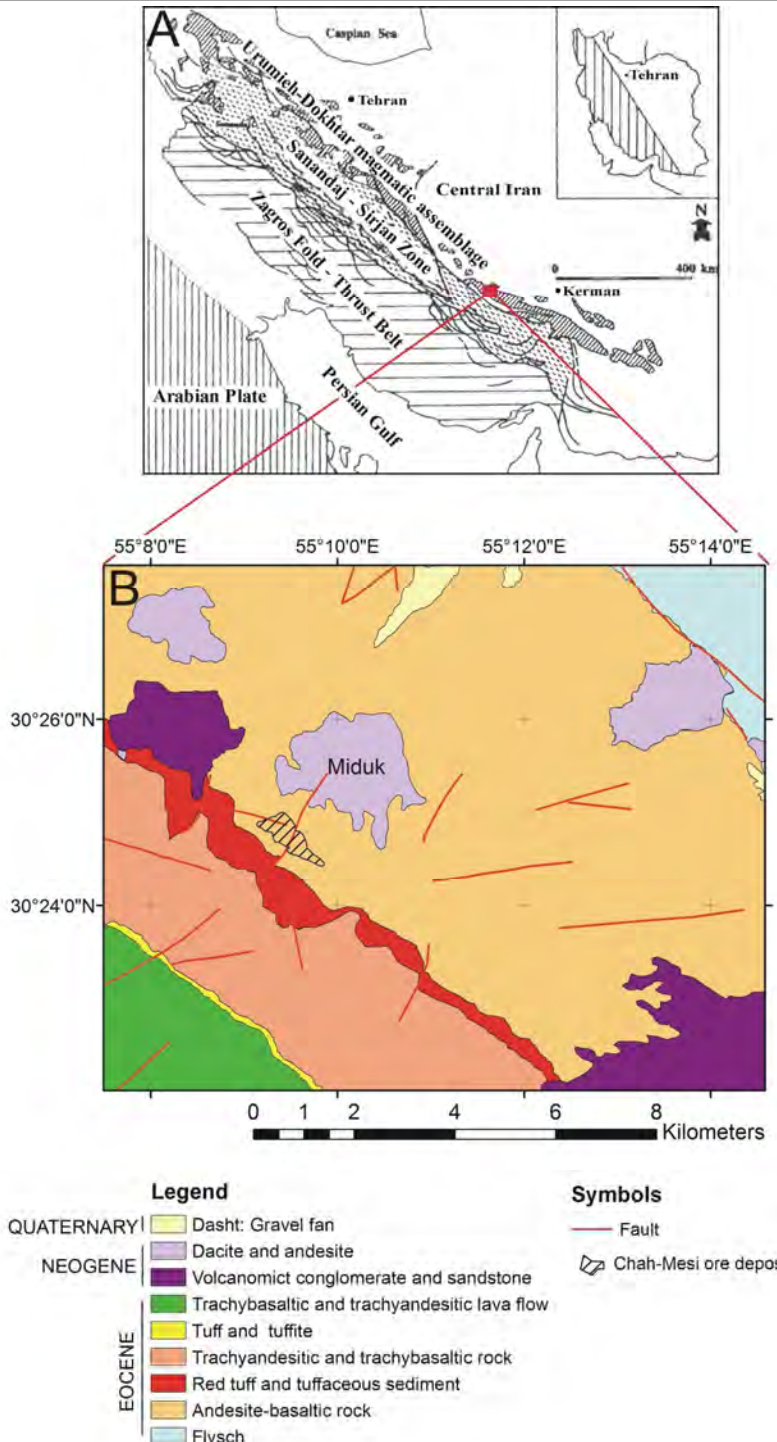
DOI: <https://doi.org/10.22067/econg.v12i3.71791>

Sojdehee et al., 2017 Karimpour and Sadeghi, 2015 (al., 2015) تشکیل شده‌اند ( 2008; Alirezai et al., 2017). اعتقاد بر این است که توسعه این کانسارها، اغلب در یک دوره زمانی خاص (غلب الیگومیوسن) و در مکان‌های ویژه‌ای بوده است ( Aghazadeh et al., 2015; Golestani et al., 2018; Karimpour and Sadeghi, 2019 et al., 2018). از جمله به‌نظر می‌رسد که کانسارها به‌طور ویژه در ارتباط با کنتربندی‌های ساختاری به‌خصوص گسل‌های امتداد لغز بزرگ و گسل‌های ثانویه مرتبط با آنها توسعه یافته‌اند. (Zarasvandi et al., 2015; Mirzababaei et al., 2016) کانسار رگه‌ای چندفلزی چاه‌مسی در استان کرمان، در فاصله 40 کیلومتری شمال شهر بابک و ۱/۵ کیلومتری جنوب غرب معدن مس میدوک واقع است. این کانسار بخشی از مجموعه ماسکمایی ارومیه-دختر و متعلق به کمربند مس کرمان است (شکل 1-A و B). کانسار چاه مسی همراه با کانسارهای پرکام (Alirezai et al., 2017; Mohammaddost et al., 2017)، چاه فیروزه (Golestani et al., 2017; Boomeri et al., 2019) و ایجو (Golestani et al., 2017; Boomeri et al., 2019) جزو کانسارهایی هستند که همگی در اطراف کانسار مس میدوک قرار گرفته‌اند و در قیاس با معدن مس میدوک، از ذخیره پایین‌تری برخوردار هستند. این کانسارها، اغلب در مرحله اکتشاف و یا باطله‌برداری هستند. در محدوده کانسار چاه مسی، وجود بقایای کارهای قدیمی معدن کاری، نشان از رونق فعالیت‌های معدنی از گذشته‌های بسیار دور دارد. شکل 2، نقشه زمین‌شناسی منطقه چاه مسی را نشان می‌دهد.

بررسی‌های اکتشافی متعددی برای ارزیابی کانسار چندفلزی چاه‌مسی انجام شده است که شامل بررسی‌ها در طی سال‌های 1350 تا 1351 و 1351 تا 1385 توسط گروه کارشناسی یوگسلاوی و ادامه آن در طی سال‌های 1385 تا 1387 با هدایت شرکت ملی صنایع مس ایران به انجام رسیده است. آخرین بررسی اکتشافی انجام شده در منطقه، در سال 1393 توسط شرکت مهندسی پارس‌النگ و بر پایه اطلاعات حفاری 27 گمانه اکتشافی جدید و 8 گمانه قدیمی برای تخمین ذخیره کانسار انجام شده است.

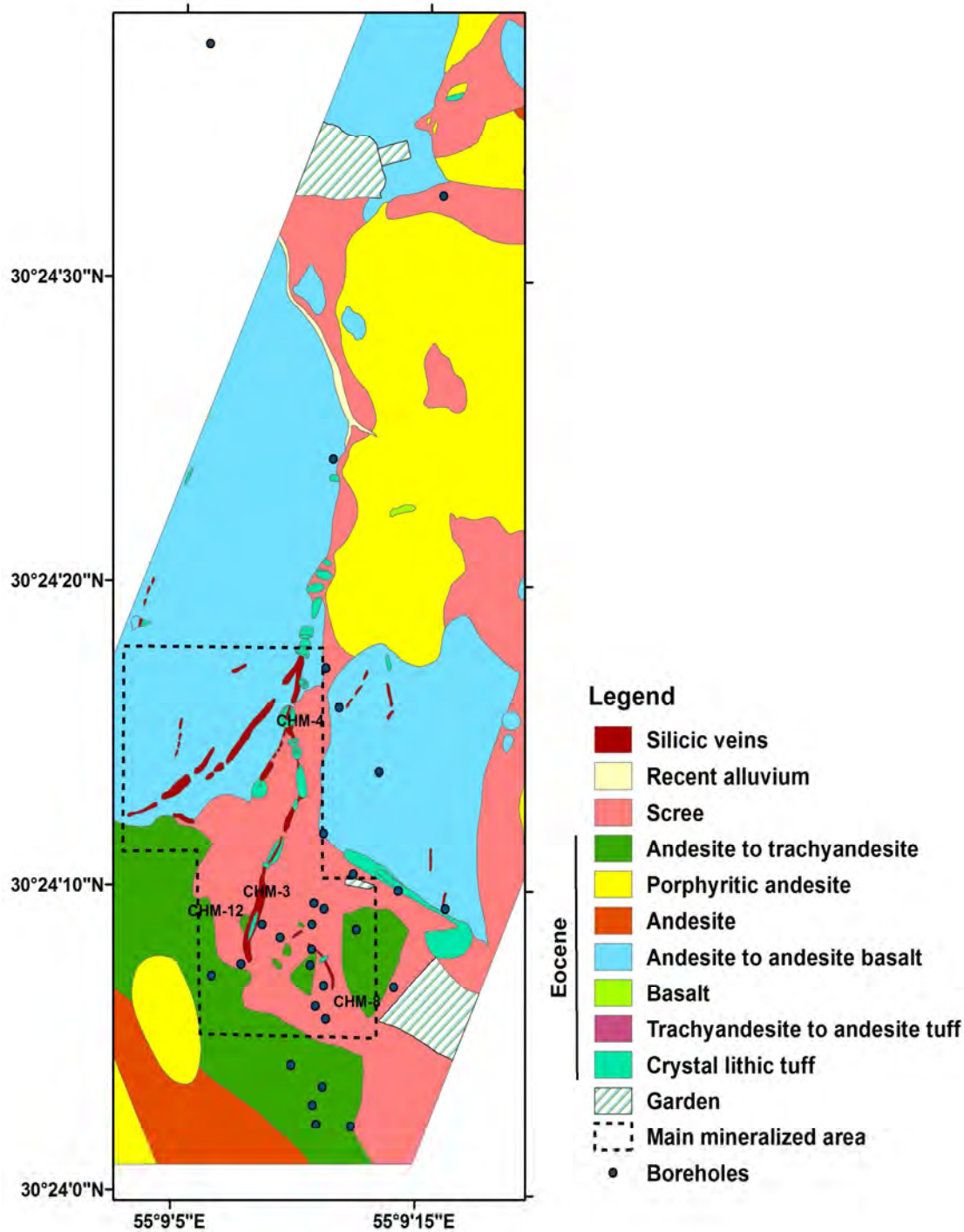
می‌تواند برای پیش‌بینی احتمال وجود و همچنین میزان نزدیکی به ماده معدنی مورد استفاده قرار گیرد ( Chen et al., 2016; Gong et al., 2016; Hosseini-Dinani and Aftabi, 2016). از نخستین افرادی که بحث منطقه‌بندی افقی و قائم عناصر یا کانی‌ها را در هاله‌های ژئوشیمیابی اولیه کانسارها مطرح کردند، می‌توان به برودریک (Broderick, 1929) نظری برآون (Brown, 1935) و گروس (Gross, 1956) دنبال شد تا سرانجام در دهه 1970، این موضوع به عنوان یکی از مباحث مهم در علم ژئوشیمی کانسارها تبدیل شد؛ به‌طوری که بشوس و گریگوریان (Beus and Grigorian, 1977) شاخص‌هایی را برای محاسبه منطقه‌بندی عناصر در هاله‌های ژئوشیمیابی اولیه ارائه کردند ( Harraz, 1995; Gong et al., 2016). از آن به بعد تاکنون پژوهش‌های متعددی در ارتباط با منطقه‌بندی عناصر در کانسارهای گرمابی در جهان ( Li et al., 1995; Harraz, 1995; Yongqing and Pengda, 1998; Wang et al., 2013; Gong et al., 2016 Atapour, 2017; Parsapoor et al., 2017; Talesh ) انجام شده است. (Hosseini et al., 2018)

در ایران، اغلب کانسارهای مس پورفیری شناخته شده، طی ترشیری و در ارتباط با فرورانش پوسته اقیانوسی نوتیس به زیر ایران مرکزی در طی کوه‌زایی آلپین شکل گرفته‌اند (Berberian and King, 1981; Hezarkhani, 2002; ) (Hezarkhani, 2006; Shahabpour, 2007 فرورانش، کانسارهای متعددی در مناطق مختلف ایران به‌ویژه در (Alavi, 1994, 2004) مجموعه ماسکمایی ارومیه-دختر شکل گرفته است که از آن جمله می‌توان به کانسارهای مس پورفیری تشکیل شده در کمربند مس پورفیری کرمان اشاره کرد. کمربند مس پورفیری کرمان، مهم‌ترین زون کانی‌سازی فلزی در ایران است که در بخش جنوبی ارومیه دختر واقع شده است و در آن کانسارهای بسیار ارزشمندی همچون Shahabpour and Kramers, 1987; Taghipour et al., 2006 سرچشم (Hezarkhani, 2006) به‌همراه میدوک (



شکل ۱.A: موقعیت کانسار چاهمسی بر روی نقشه ساده شده تقسیمات ساختاری ایران، نقل با تغییرات از مجلد و همکاران (Mohajjal et al., 2003) و B: نقشه زمین‌شناسی کلی منطقه مورد بررسی، نقل با تغییرات از دیمتربیوچ و همکاران (Dimitrijevic et al., 1971)

**Fig. 1.** A: Simplified structural map of Iran showing the location of Chah-Mesi ore deposit (after Mohajjal et al., 2003), and B: General geological map of the study area (after Dimitrijevic et al., 1971).



شکل 2. چهارگوش کلیه نقشه‌های هم‌عیار ترسیم شده در کانسار چاه‌مسی که بر روی آن موقعیت گمانه‌های حفاری شده و محدوده اصلی کانه‌زایی نشان داده شده است. واحدهای سنگی بر اساس شرکت مهندسین مشاور کان ایران (Kan Iran Consulting Engineers, 2006) است.

**Fig. 2.** The quadrangle of all drawn isoconcentration maps, showing the location of drilled boreholes and the main mineralization zones in the Chah-Mesi ore deposit. The rock units are based on Kan Iran Consulting Engineers, 2006.

شده‌اند (شکل 3). طول رگه‌ها از 100 تا 400 متر و ضخامت آنها از کمتر از 0/5 تا 10 متر متغیر است و رگه‌ها آشکارا ساختار باز و بسته<sup>1</sup> به نمایش می‌گذارند؛ به طوری که ضخامت رگه‌ها در امتداد طول و شبیه تغییر می‌کند (Modrek, 2009). Ghyasi Fathabad, (2012)، جای‌گیری کانسار چاه‌می به شدت تابع عوامل ساختاری مرتبط با گسل‌های نرمال با مؤلفه امتداد لغزی و با الگوی مزدوج نامتقارن است.

دگرسانی گرمابی در کانسار چاه‌می، اغلب در امتداد رگه‌های اصلی مشاهده می‌شود و با دور شدن از رگه‌ها، شدت آن به طور بارزی کاهش می‌یابد. دگرسانی‌های سیلیسی و آرژیلیک (رسی) در ارتباط با تشکیل کانسنگ است و تا فاصله کمی از رگه‌ها گسترش یافته است و همراه با آن آزوریت، ملاکیت، کالکوسبیت و اکسیدهای آهن دیده می‌شود. گسترش زون‌های گسلی و به تبع آن رگه‌ها و دگرسانی گرمابی در پله‌های جنوبی پست اصلی معدن بیشتر است؛ در حالی که در پله‌های شمالی پست، بیشتر دگرسانی در ارتباط با سنگ‌های میزان دیده می‌شود (شکل B-3). دگرسانی عمده در سنگ‌های میزان رگه‌ها از نوع پروپیلیتیک، با کانی‌شناسی کلسیت-کلریت است که تمام سنگ‌ها را تحت تأثیر قرارداده است؛ اما ارتباط آشکاری با کانی‌سازی ندارد. رگه‌های دارای میزان کانه بیشتر، دگرسانی شدیدتری را متحمل شده‌اند؛ در حالی که رگه‌های با محتوای سیلیس بیشتر و کانه‌زایی ضعیفتر، با توپوگرافی بر جسته تر به خوبی حفظ شده‌اند. رگه‌ها به صورت متعدد و متواالی تزریق شده و هم‌دیگر را قطع کرده‌اند (شکل C-3). لیمونیتی شدن به علت حضور سولفیدها در رگه‌های کوارتز بسیار معمول است و همراه با آن، کانی ملاکیت و آزوریت نیز دیده می‌شود (شکل D-3).

### پتروگرافی و کانه‌نگاری

بررسی‌های انجام شده بر روی نمونه‌های کانسار چاه‌می نشان می‌دهد که سنگ‌های میزان موجود در منطقه شامل سنگ‌های

هدف از این پژوهش، بررسی فراوانی و نحوه توزیع عناصر فلزی مس، مولیبدن، آهن، سرب، روی، طلا و نقره موجود در کانسار چاه‌می است. با بررسی دقیق ژئوشیمیایی توزیع این عناصر در کانسار چاه‌می می‌توان به تفاوت‌های موجود در عیار عناصر در بخش‌های مختلف کانسار پی‌برد که در این صورت می‌تواند از نظر اقتصادی ارزشمند باشد. از اهداف دیگر این پژوهش، بررسی ارتباط بین عناصر مس، مولیبدن، آهن، سرب، روی، طلا و نقره در کانسار چندفلزی چاه‌می است.

### روش مطالعه

برای رسیدن به اهداف موردنتظر، پس از انجام بررسی‌های صحرایی و نمونه‌برداری سطحی از منطقه، تعداد 30 عدد مقطع نازک و 10 عدد مقطع صیقلی از نمونه‌هایی با جنس و دگرسانی متنوع تهیه شد و توسط میکروسکوپ پلاریزان المیوس مدل BH-2 در آزمایشگاه سنگ‌شناسی و کانه‌نگاری دانشگاه شهید باهنر کرمان مورد بررسی قرار گرفت. برای انجام بررسی‌های ژئوشیمیایی و بررسی توزیع آماری و همین‌طور توزیع مکانی و نحوه پراکندگی عناصر نیز از بیش از 980 داده تجزیه شیمیایی مربوط به 35 مورد گمانه حفاری متعلق به شرکت ملی صنایع مس ایران استفاده شد. سپس تجزیه و تحلیل داده‌های ژئوشیمیایی توسط نرم‌افزارهای Excel (2010) (19)، SPSS (2011) و Datamine (Studio3.22.84.0) Surfer10 (2011) و (Studio3.22.84.0) انجام شد.

### بررسی‌های صحرایی

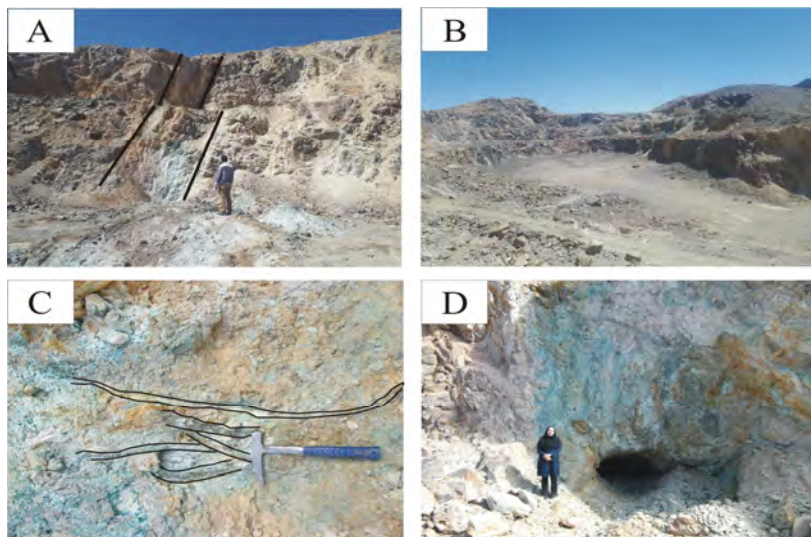
کانسار چاه‌می متشکل از چهار رگه اصلی سیلیسی چندفلزی به همراه تعدادی رگه فرعی با روند تقریبی شمال‌شرق-جنوب‌غرب و شمالی-جنوبی با شبیه تقریبی 65-80 درجه است که درون توالی‌های گدازه و مواد آذرآواری ائوسن نفوذ کرده‌اند و کانی‌سازی اغلب در امتداد رگه‌های سیلیسی رخداده است (شکل 2). این رگه‌ها در امتداد زون‌های گسلی واقع

1. Pinch and Swell

در متن سنگ حضور دارند (شکل 4-C). وجود بافت بادامکی در سنگ‌های آتشفشاوی بیانگر گازدار بودن ماغماهای تشکیل دهنده آنهاست (Mohammadi et al., 2019).

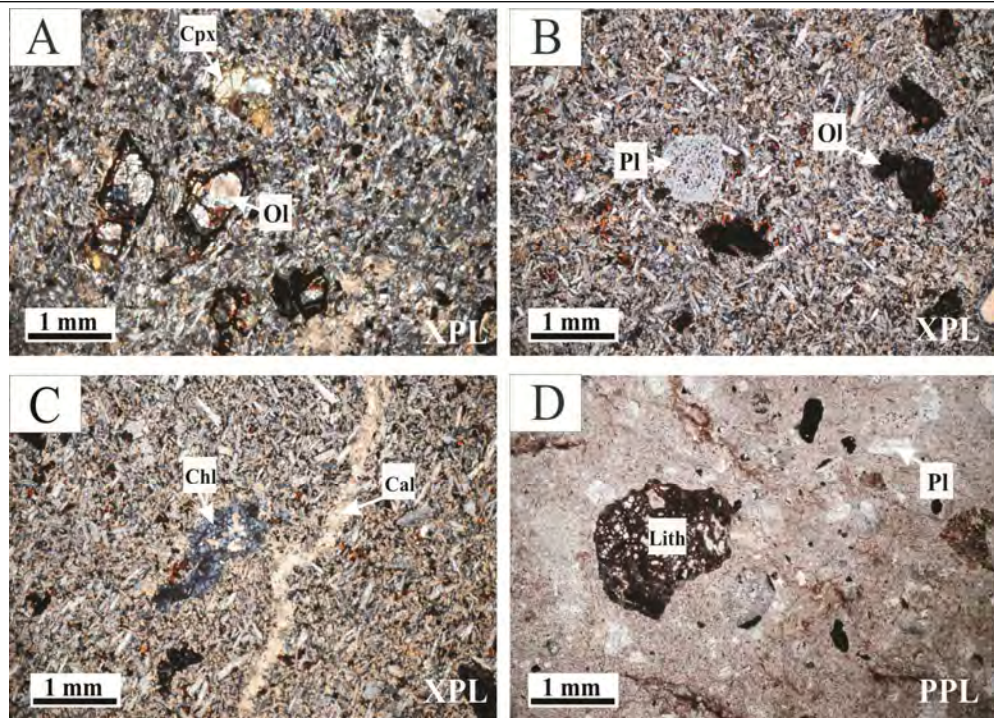
واحد سنگی توف به علت وجود اکسیدهای آهن در رخنمونهای سطحی به رنگ قرمز دیده می‌شود. بر اساس بررسی‌های پتروگرافی، این واحد حاوی قطعات خردش‌سنگی فراوان از جنس سنگ‌های آتشفشاوی بازیک تا حد واسط همراه با خردش‌های بلوری زاویه‌دار با ترکیب کانی‌شناسی اغلب پلازیوکلاز هستند (شکل 4-D). با توجه به درصد حضور قطعات سنگی و بلورها می‌توان آنها را در دو گروه توف بلورین‌سنگی و توف سنگی-بلورین گروه‌بندی کرد. با توجه به بافت غیرمنسجم این سنگ‌ها در مقایسه با گدازهای آتشفشاوی، شدت دگرسانی در این سنگ‌ها به مراتب بسیار بیشتر است.

آتشفشاوی از نوع بازالت و آندزیت بازالتی و سنگ‌های آذرآواری از نوع توف است که در این میان، حجم بازالت از بقیه سنگ‌ها بیشتر است. واحدهای میزان بازالت و آندزیت بازالتی دارای رنگ رخنمون خاکستری متوسط تا تیره و بافت پوروفیری تا گلومروفوروفیری در زمینه‌ای ریزدانه متشکل از میکروولیت‌های پلازیوکلاز همراه یا بدون شیشه آتشفشاوی دیده می‌شوند. فوکریست‌های موجود در این واحد، شامل الیوین و کلینوپروکسن همراه با مقدار کمتری پلازیوکلاز است که در آنها الیوین به شدت دگرسان شده است و نشانه این امر در منطقه تبدیل بخشی تا کامل الیوین‌ها به اکسید آهن در قالب فرایند ایدینگزیتی شدن است (شکل 4-A و B). فوکریست‌های پلازیوکلاز نیز گاهی بافت غربالی نشان می‌دهند (شکل 4-B). واحدهای آندزیت بازالتی مشابه واحدهای بازالتی هستند؛ با این تفاوت که در آنها الیوین مشاهده نمی‌شود. کلسیت و کلریت نیز چه به صورت رگه‌ای و یا پرکننده حفره‌ها و یا به صورت پراکنده



شکل 3. عوارض صحرایی مشاهده شده در کانسار چاه‌مسی، A: تصویری از یکی از زون‌های گسله اصلی در پله‌های جنوبی پیت معدن که دگرسانی شدید همراه با کانسارسازی نشان می‌دهد. B: نمایی از پله‌های بخش شمال غربی که دارای دگرسانی و کانه‌زایی کمتر در مقایسه با پله‌های جنوبی است. C: رگه‌های سیلیسی متعدد که یکدیگر را قطع کرده‌اند و کانسارسازی اغلب در ارتباط با همین رگه‌ها رخداده است و D: دهانه ورودی تونل اکتشافی موجود در منطقه و وجود کانی‌های آزوریت، مالاکیت، کالکوسبیت و انواع اکسیدهای آهن

**Fig. 3.** Field phenomena observed in the Chah-Mesi ore deposit, A: One of the main fault zones in the southern steps of the pit, showing intense alteration together with mineralization, B: A view of the steps in the northwestern part with minor alteration and mineralization in comparison to the southern steps, C: Prominent cross-cutting quartz veins. The mineralization is mainly associated with these veins, and D: The entrance of the exploratory tunnel in the study area with azurite, malachite, chalcocite and various iron oxides

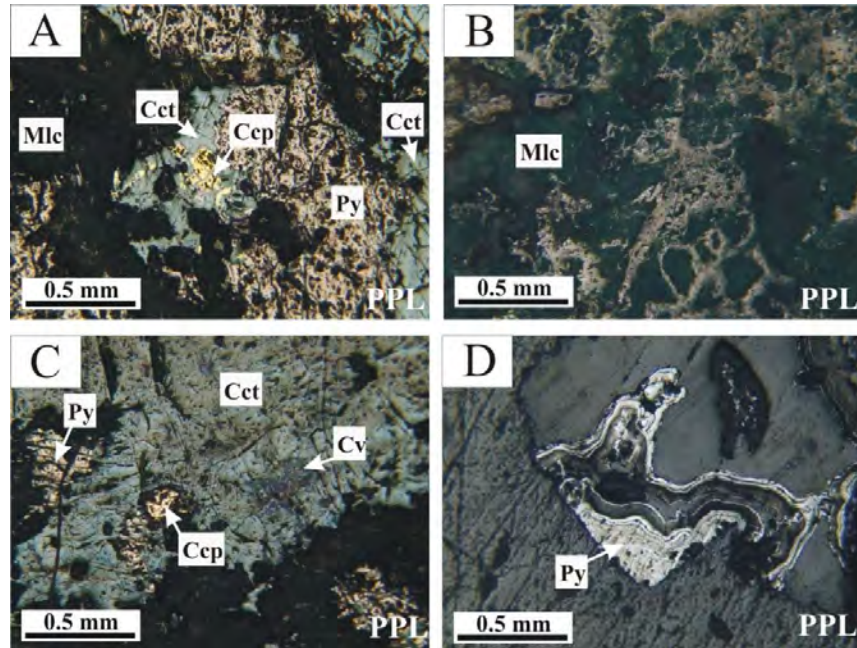


**شکل 4.** تصاویر میکروسکوپی نور عبوری سنگ‌های میزبان کانسار چاه‌مسی، A: واحد باالت پورفیری حاوی فنوریستهای الیوین و کلینوپیروکسن در زمینه‌ای متشكل از میکرولیت‌های پلازیوکلаз نسبتاً جریان یافته همراه با کانی‌های کوچک کدر و الیوین و پیروکسن. دگرسانی ایدینگریتی و کربناتی نسبتاً شدید در نمونه گسترش یافته است، B: بلورهای ایدینگریتی شده الیوین همراه با پلازیوکلاز، با بافت غربالی در زمینه بافت اینترگرانولار در سنگ‌های باالتی، C: وجود کلسیت به عنوان کانی دگرسانی غالب همراه با کلریت در یک سنگ آتش‌شانی و D: واحد توف بلورین-سنگی دارای قطعات خردشنسگ همراه با قطعات بلورهای پلازیوکلاز. علایم اختصاری کانی‌ها از ویتنی و اوونز (Whitney and Evans, 2010) اقتباس شده است (Ol: الیوین، Cpx: کلینوپیروکسن، Pl: پلازیوکلاز، Cal: کلسیت، Chl: چلریت، Lith: لیثیک فراغ، PPL: خردشنسگ، PPL: نور قطبی، XPL: صفحه‌ای، XPL: نور قطبی).

**Fig. 4.** Transmitted-light microphotographs of the Chah-Mesi ore deposit host rocks, A: Porphyritic basalts composed of olivine and clinopyroxene phenocrysts in a groundmass containing plagioclase microliths (defining a flow texture), small grains of opaque, olivine and pyroxene. The Iddingsitization and carbonatization strongly developed in the sample, B: Intergranular texture in basalt which consists of iddingsitized olivine crystals and sieve texture plagioclase, C: Calcite with chlorite as the dominant alteration products in a volcanic rock, and D: Crystal lithic tuff comprised of lithic fragments and plagioclase crystals. Abbreviations after Whitney and Evans (2010) (Ol: Olivine, Cpx: Clinopyroxene, Pl: Plagioclase, Cal: Calcite, Chl: Chlorite, Lith: Lithic fragment, PPL: Plane polarized light, XPL: Cross polarized light).

اغلب با هیدروکسیدهای آهن نظیر لیموئیت و گوتیت همراه هستند (شکل A-5، B و C). همچنین، بر اساس بررسی‌های میکروسکوپی، کانی‌های سولفیدی اغلب به صورت بی‌شکل بوده و اغلب در کنار هم به صورت تجمعی و گاه به صورت مجرا رشد کرده‌اند. در برخی مقاطع، پیریت به صورت کلوفرم نیز دیده می‌شود (شکل D-5).

بررسی کانه‌نگاری نشان می‌دهد که در محدوده چاه‌مسی کانی‌های پیریت و کالکوپیریت، سولفیدهای اصلی هستند (شکل A-5) و گالان و اسفالریت در مقادیر کمتری حضور دارند. همچنین در رخمنونهای سطحی به علت عملکرد فرایندهای هوازدگی، مقادیر قابل توجهی کالکوسیت و مالاکیت همراه با مقادیر کمتری کوولیت و آزوریت دیده می‌شود که



شکل 5. تصاویر میکروسکوپی نور انعکاسی نمونه‌های سطحی کانسار چاه‌مسی، A: کالکوپیریت و پیریت که از حاشیه تبدیل به کالکوسیت شده‌اند. علاوه بر این، مالاکیت نیز همراه با اکسید آهن دیده می‌شود، B: توسعه مالاکیت به علت عملکرد فرایندهای هوازدگی، C: توسعه کالکوسیت و کوولیت در حاشیه پیریت و کالکوپیریت در زون سوپرژن و D: پیریت کلوفرم در نمونه‌ها. علایم اختصاری کانی‌ها از وینتی و اوائز (Whitney and Evans, 2010) اقتباس شده است (Ccp: کالکوپیریت، Cct: پیریت، Py: کالکوسیت، Mlc: مالاکیت، Cv: کولیت، PPL: نور قطبی). صفحه‌ای).

**Fig. 5.** Reflected-light microphotographs of surface samples from the Chah-Mesi ore deposit, A: Chalcopyrite and pyrite, converted to chalcocite on the margins. Malachite and iron oxide are also occurred, B: Development of malachite due to weathering processes, C: Growth of Chalcocite and covellite on the margins of pyrite and chalcopyrite in the supergene zone, D: Colloform pyrite in the samples. Abbreviations after Whitney and Evans (2010) (Ccp: Chalcopyrite, Py: Pyrite, Cct: Chalcocite, Mlc: Malachite, Cv: Covellite, PPL: Plane polarized light).

## پردازش‌های آماری

### ماتریس همبستگی

در این پژوهش، در ابتدا برای بررسی همبستگی بین عناصر مختلف، ضرایب همبستگی بر اساس روش پیرسون محاسبه شد که با توجه به تعداد بالای تجزیه‌های شیمیایی انجام شده (984 نمونه)، استفاده از این روش، محاسبه ضریب همبستگی، مانع ندارد (جدول 1). با بررسی ضرایب همبستگی عناصر Cu, Mo, Fe, Zn, Pb, Au, Ag در منطقه چاه‌مسی، مشخص می‌شود که بیشترین میزان ضریب همبستگی مربوط به عناصر Pb-Zn و Ag-Au با میزان بیشتر از 0/7 است که مقادیر قابل توجهی هستند. این مسئله با توجه به تشابهات ژئوشیمیایی عناصر یادشده

## ژئوشیمی

همان‌طور که در گذشته نیز بیان شد، برای انجام تحلیل‌های آماری و بررسی توزیع مکانی عناصر، داده 984 تجزیه شیمیایی مربوط به 35 مورد گمانه حفاری متعلق به شرکت ملی صنایع مس ایران که هر کدام شامل آنالیز 7 عنصر فلزی می‌شد، مورد استفاده قرار گرفت. بر اساس گزارش‌های موجود، برای انجام آنالیزها، مغزه‌های حفاری به طول میانگین 2 متر، به دو نیم شده و بعد از خردایش، همگن‌سازی و نرمایش، نمونه‌های معرف انتخاب شده و برای انجام آنالیز به روش ICP-ES به آزمایشگاه زرآزمایش ارسال شده‌اند. شکل 2، موقعیت گمانه‌های حفاری شده در محدوده چاه‌مسی را نشان می‌دهد.

از منشأ مشترک آنها دارد؛ در حالی که عنصر مس با زوج عناصر Pb-Zn و عنصر Mo همبستگی ضعیفی نشان می‌دهد که به خوبی بیانگر نقش فرایندهای مختلف در توزیع این عناصر است؛ به طوری که به نظر می‌رسد پراکندگی ژئوشیمیایی مجموعه عناصر Cu-Fe-Au-Ag باید تحت عوامل ژئوشیمیایی متفاوتی از زوج عناصر Pb-Zn و عنصر Mo بوده باشد.

کاملاً مورد انتظار است. در درجه بعدی اهمیت زوج عناصر Fe-Ag و Cu-Au، Cu-Fe، Cu-Ag همبستگی بیشتر از 0/6 قرار می‌گیرند. ضریب همبستگی بالای مس و آهن با توجه به حضور کانی کالکوپیریت به عنوان یکی از کانهای اصلی موجود در معدن چاهمسی، کاملاً مورد انتظار است. ضریب همبستگی بالای عناصر Au و Ag با مس نیز نشان

جدول 1. ماتریس همبستگی بین عناصر کمیاب و کانساری مختلف در کانسار چاهمسی

Table 1. Correlation matrix of different trace and ore elements in the Chah-Mesi ore deposit

	Ag(ppm)	Fe%	Zn (ppm)	Pb (ppm)	Au (ppm)	Mo (ppm)	Cu%
<b>Cu%</b>	.676**	.625**	.081*	.093**	.609**	.350**	1
<b>Mo (ppm)</b>	.331**	.289**	.240**	.247**	.364**	1	
<b>Au (ppm)</b>	.736**	.570**	.087*	.157**	1		
<b>Pb (ppm)</b>	.430**	.086**	.775**	1			
<b>Zn (ppm)</b>	.321**	.147**	1				
<b>Fe%</b>	.627**	1					
<b>Ag(ppm)</b>	1						

\*\*Correlation is significant at the 0.01 level (2-tailed).

\*Correlation is significant at the 0.05 level (2-tailed).

تحلیل، به خوبی با نتایج حاصل از محاسبه ضرایب همبستگی همخوانی دارد.

### بررسی تغییرات عمودی عناصر فلزی مختلف در گمانه‌های انتخابی

برای بررسی تغییرات عمودی ژئوشیمیایی عناصر فلزی در کانسار چاهمسی، تعداد چهار گمانه که متعلق به قسمت‌های مختلف کانسار هستند و در عین حال در آنها آنالیزهای عناصر کمیاب کاتساری کامل‌تر انجام شده است، مورد بررسی قرار گرفت (شکل 2). بدین صورت که داده‌های مربوط به این گمانه‌های انتخابی، پس از انجام تصحیحات عمقی در نرم‌افزار Datamine، به محیط Excel وارد و نمودار توزیع عمقی عناصر فلزی ترسیم شد (شکل‌های 7 و 8).

نمودارهای آماری چند متغیره (تحلیل خوش‌های) بر اساس تحلیل خوش‌های نمونه‌های کانسار چاهمسی، خط برش در مقیاس 10 واحد بر مبنای بیشترین فاصله، چهار خوش‌های اصلی فراهم می‌آورد که عناصر Zn و Pb در خوش‌های اول، Mo در خوش‌های دوم، Cu، Fe و Ag در خوش‌های سوم و درنهایت Au در خوش‌های چهارم قرار می‌گیرد (شکل 6). با وجودی که عناصر Mo و Au هر کدام به صورت جداگانه خوش‌های مجزایی را تشکیل داده‌اند؛ اما Au هنوز نزدیکی‌هایی را با خوش‌های سوم که شامل عناصر Cu، Fe و Ag است، نشان می‌دهد که این مسئله می‌تواند بیانگر ارتباط پاراژنتیکی این عناصر باشد. اما عنصر Mo در خوش‌های دوم بیشترین عدم تشابه را با خوش‌های دیگر نشان می‌دهد که بیانگر آن است که عوامل کنترل کننده عیار این عنصر با دیگر عناصر متفاوت بوده است. نتایج حاصل از این

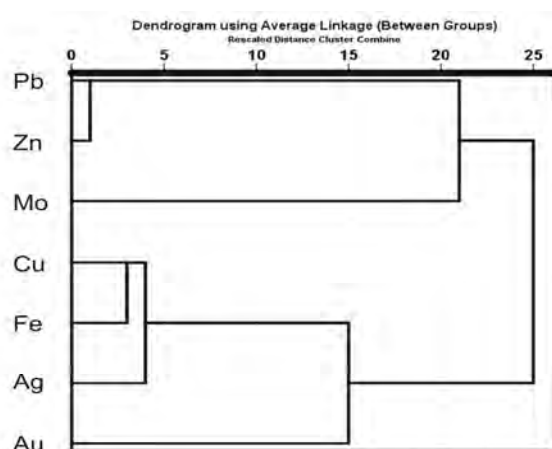
آهن همراه است؛ اما در عمق 180 متری، افزایش سرب و روی فراینده‌تر از دیگر عناصر فلزی است (شکل 8). گمانه CHM-08 فقط در ترازهای سطحی افزایش جزئی عیار مس و دیگر عناصر فلزی را نشان می‌دهد و به طرف عمق، عیار اغلب عناصر کاهش یافته است و در حد زمینه می‌شود. به‌نظر می‌رسد این گمانه از لحاظ مس چندان ارزشمند نیست؛ اما در قسمت‌های سطحی به‌علت فراوانی رگه‌های حاوی کانه‌زایی دیگر عناصر فلزی و به‌ویژه سرب، روی و نقره، عیارهای قابل توجهی از عناصر یادشده دیده می‌شود (شکل 8). در گمانه CHM-12 بیشترین عیار مس در اعمق 80–100، 260–285، 320 و 370 متری دیده می‌شود. با توجه به آنکه میزان طلا و نقره برای بخش‌های زیادی از این گمانه اندازه‌گیری نشده است، امکان قضایت درباره این دو عنصر به‌ویژه در بخش‌های عمقی تر گمانه وجود ندارد (شکل 7). با بررسی توزیع عمقی عناصر در گمانه‌های انتخاب شده و با توجه به اینکه کانسار چاه‌مسی از نوع رگه‌ای است، نوسانات عیار عناصر با افزایش عمق کاملاً مورد انتظار است. البته با توجه به اینکه میزان افزایش عناصر در اعماق مختلف از الگوی یک‌باختی پیروی نمی‌کند، به خوبی می‌توان پی‌برد که نوع کانسارسازی رگه‌ها و درصد وجود کانه‌های مختلف در تمامی رگه‌ها مشابه نیست.

مقایسه این چهار بیانگر آن است که عیار اغلب عناصر در گمانه‌های CHM-03 و CHM-12 از دو گمانه دیگر بیشتر است. با توجه به محل حفر این دو گمانه که تقریباً نزدیک محدوده اصلی کانسار است (شکل 2)، چنین نتیجه‌ای کاملاً قابل انتظار و نشانه کانه‌زایی شدید است. در صورتی که گمانه‌های CHM-04 و CHM-08 خارج از محدوده اصلی کانسارسازی واقع هستند و کانه‌زایی در آنها ضعیف است (شکل 2).

نتایج بررسی‌ها در هریک از این چهار گمانه و مقایسه آنها به شرح زیر است:

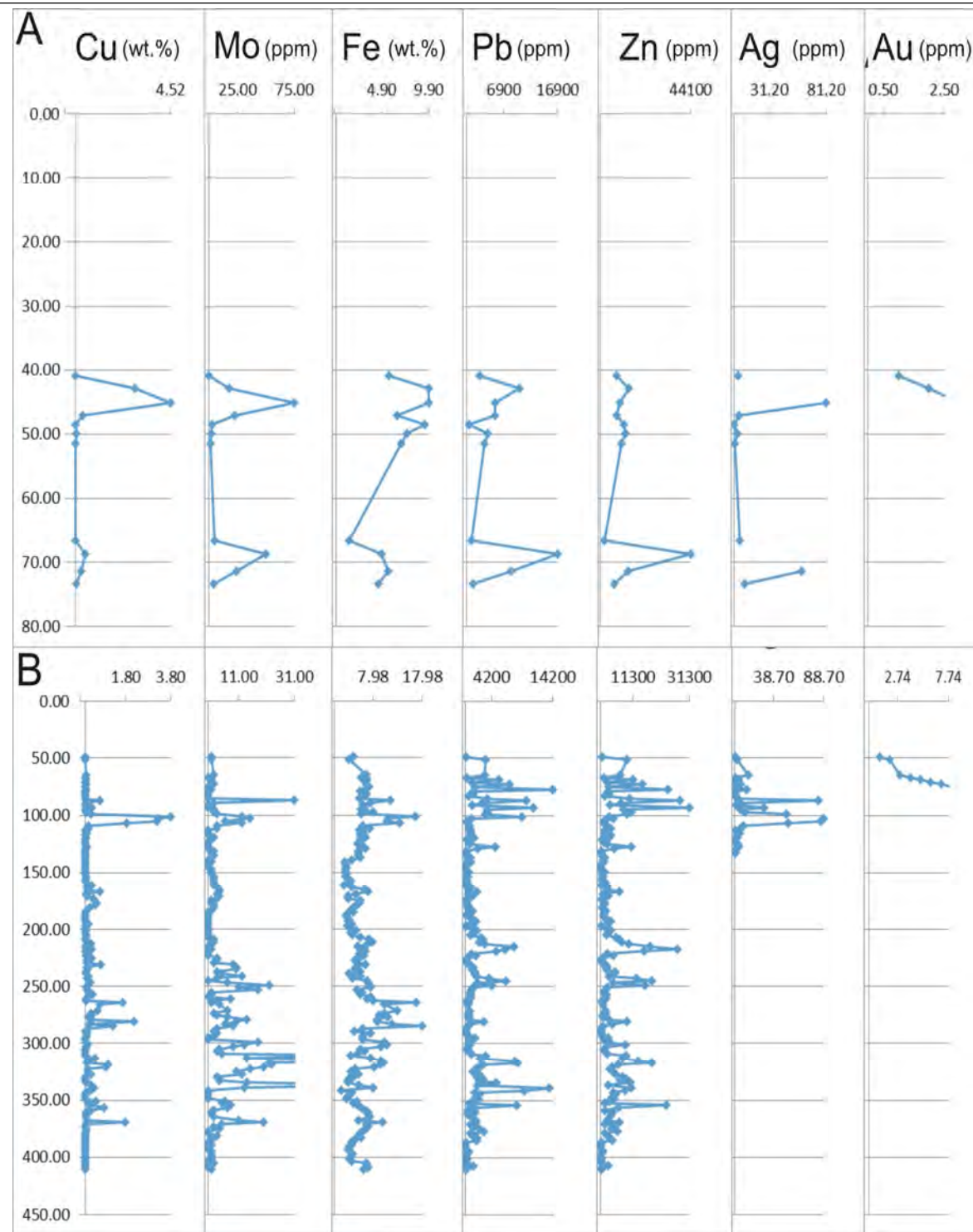
در گمانه شماره CHM-03 بیشترین میزان مس در عمق 45 متری گمانه مشاهده می‌شود که انطباق قابل توجهی با میزان طلا، نقره، آهن و مولیبدن و به میزان کمتر سرب و روی دارد. یک فراوانی کوچک‌تر مس نیز در عمق 70 متری دیده می‌شود که با افزایش عناصر فلزی دیگر به خوبی منطبق است؛ اما در عمق 70 متری افزایش سرب و روی بسیار واضح‌تر از عمق 45 متری است (شکل 7).

در گمانه CHM-04 نتایجی قابل مقایسه با گمانه CHM-03 به دست آمد؛ به طوری که در اعمق 20 و 60 متری، افزایش فراینده مس به خوبی با افزایش قابل توجه طلا، نقره، مولیبدن و



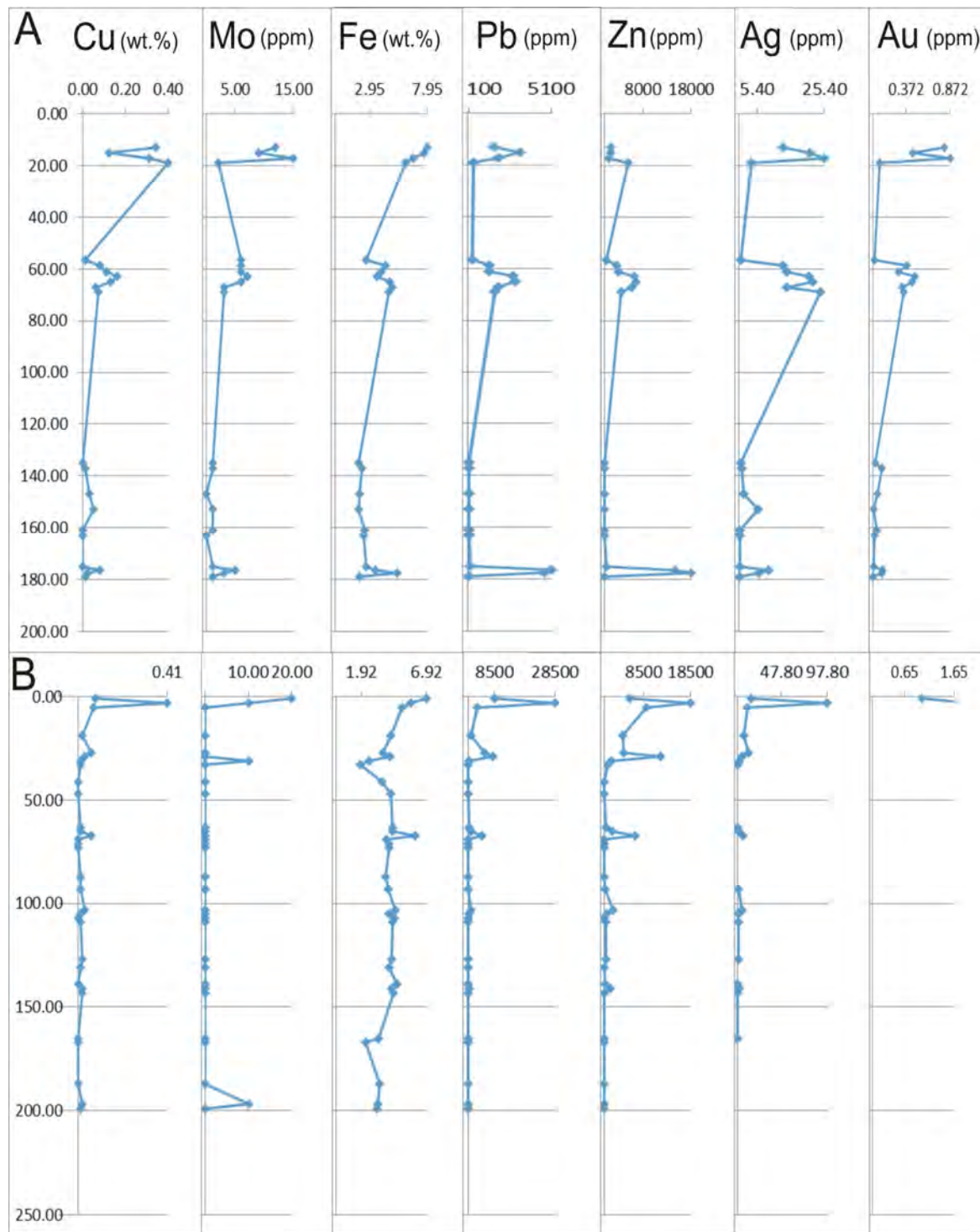
شکل 6. دندروگرام عناصر کمیاب و کانساری در کانسار چاه‌مسی

Fig. 6. Dendrogram of trace and ore elements in the Chah-Mesi ore deposit



شکل 7. منطقه‌بندی قائم عناصر کمیاب و کانساری در گمانه‌های حفاری انتخاب شده مربوط به بخش کانه‌زایی شدید کانسار چاه مسی، A: گمانه شماره CHM-03 و B: گمانه شماره CHM-12

**Fig. 7.** Vertical zonality of trace and ore elements in the drilled boreholes selected from the highly mineralized part for the Chah-Mesi ore deposit, A: Borehole No. CHM-03, and B: Borehole No. CHM-12



شکل 8. منطقه‌بندی قائم عناصر کمیاب و کانساری در گمانه‌های حفاری انتخاب شده مربوط به بخش کانه‌زایی ضعیف کانسار چاه مسی، A: گمانه شماره CHM-04 و B: گمانه شماره CHM-08

**Fig. 8.** Vertical zonality of trace and ore elements in the drilled boreholes selected from the weakly mineralized part of the Chah-Mesi ore deposit, A: Borehole No. CHM-04, and B: Borehole No. CHM-08

## بررسی توزیع مکانی و نحوه پراکندگی عناصر فلزی در کانسار چندفلزی چاه‌مسی

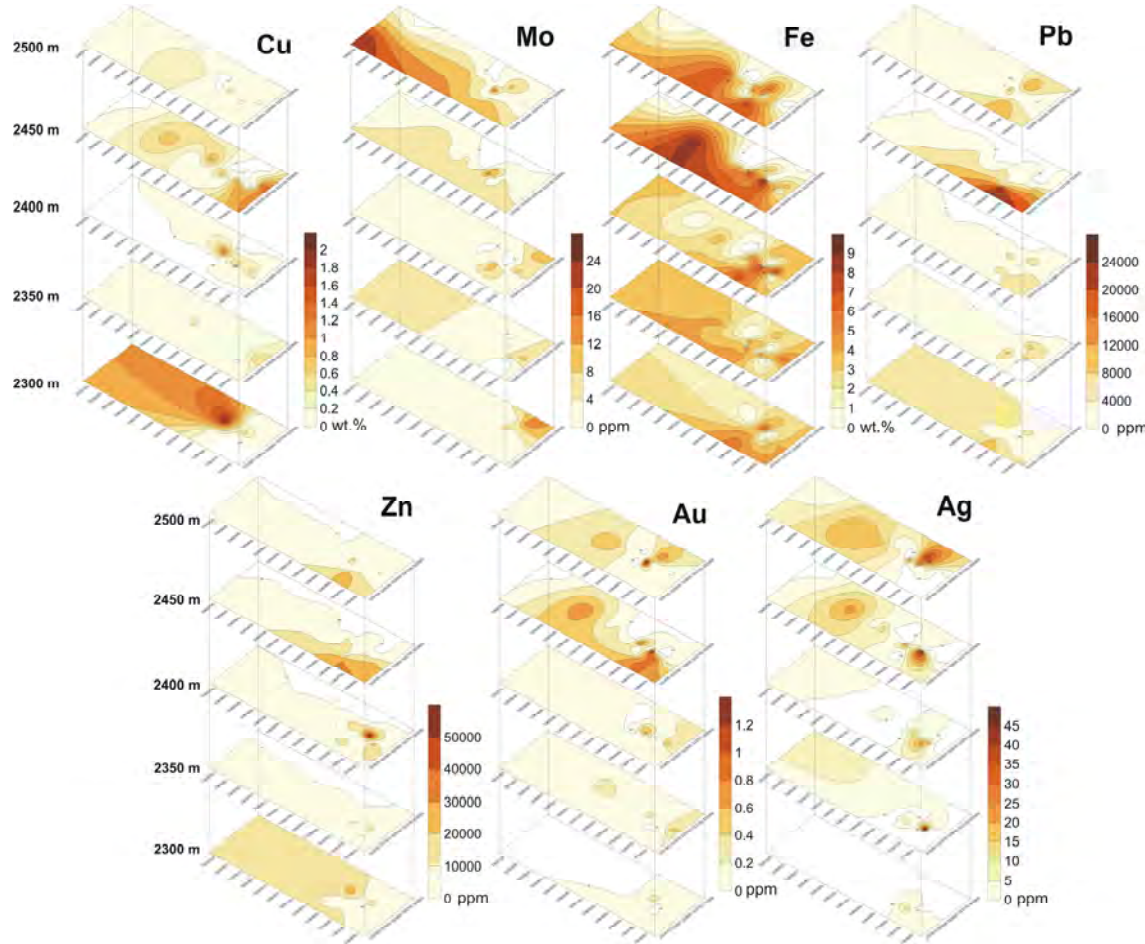
رسم نقشه‌های هم‌عيار، دید واضح‌تری را نسبت به پراکندگی عناصر و نحوه توزیع مکانی آنها به دست می‌دهد. برای ترسیم نقشه‌ها، به علت اختلاف ارتفاع دهانه گمانه اکتشافی و نیز روند متفاوت حفاری گمانه‌های مختلف، در ابتدا کلیه داده‌های مربوط به گمانه‌ها با توجه به مخصوصات ژئومتری حفاری آنها، وارد محیط نرم‌افزار Datamine شدن و سپس تصحیحات ارتفاعی با موقعیت‌های جغرافیایی جدید برای هر داده انجام شد. در ادامه، داده‌های تصحیح شده وارد نرم‌افزار Excel شد و با فیلتر کردن داده‌ها، داده‌های حفاری موجود از پایین‌ترین افق حفاری شده (افق 2275 متر) تا بالاترین افق (افق 2525 متر) به صورت بازه‌های 50 متری تفکیک شد. در ادامه با میانگین‌گیری از هر بازه، درنهایت میانگین عیار عناصر برای ترازهای مختلف معدن به صورت زیر به دست آمد:

(۱) افق 2475 تا 2525 متر با نقطه میانگین 2500 متر به عنوان سطحی‌ترین افق؛  
 (۲) افق 2425 تا 2475 متر با نقطه میانگین 2450 متر؛  
 (۳) افق 2375 تا 2425 متر با نقطه میانگین 2400 متر؛

**جدول 2.** حداقل عیار میانگین عناصر در افق‌های مختلف در کانسار چاه‌مسی

**Table 2.** Maximum average concentration of elements from different levels in the Chah-Mesi ore deposit

Element	Maximum concentration	Maximum concentration level (meter)
Cu	1.91 wt.%	2300
Mo	23.14 ppm	2500
Fe	8.67 wt.%	2450
Pb	2.37 wt.%	2450
Zn	5.39 wt.%	2400
Au	1.30 ppm	2500
Ag	43.8 ppm	2450



شکل ۹. مدل‌های توزیع سه بعدی عناصر کمیاب و کانساری در کانسار چاه‌مسی

**Fig. 9.** Three dimensional distribution models of trace and ore elements in the Chah-Mesi ore deposit

مسئله با الگوی منطقه‌بندی قابل انتظار در کانسارهای گرمابی در تناقض است؛ چرا که بر اساس نظر پژوهشگران مختلف، از جمله وانگ و همکاران (2013)، (Wang et al., 2013)، گونگ و همکاران (Gong et al., 2016)، لی و همکاران (Li et al., 2016)، عیار مولیبدن باید در افق‌های زیرین افزایش یابد. به نظر 2016، عیار مولیبدن را باید در ساختار رگه‌ای کانسار چاه‌مسی جستجو کرد؛ زیرا در کانسار چاه‌مسی، رگه‌های متعدد سیلیسی حاوی کانه‌زایی چندفلزی تزریق شده است و بر اساس نظر لی و همکاران (Li et al., 1995)، زمانی که تزریق رگه‌ای به صورت متعدد و در فواصل نزدیک بهم رخداده باشد، شیوه به

میانگین عناصر سرب، روی و طلا اغلب در ترازهای سطحی تر کانسار مشهود است و با افزایش عمق، اغلب از میزان آن کاسته می‌شود (شکل ۹) که این مسئله بیانگر اختلافاتی در روند تغییرات این عناصر با مس است. نحوه توزیع آهن و میزان تغییرات آن در افق‌های مختلف خیلی شدید نیست؛ اما با بیشترین مقدار میانگین عنصر نقره در افق‌های 2350، 2450 و 2500 متری دیده می‌شود (جدول ۲ و شکل ۹) که با توجه به عیار بالای آن، از لحاظ اقتصادی بسیار حائز اهمیت است. میانگین عیار عنصر مولیبدن در معدن چاه‌مسی در بالاترین تراز یعنی تراز 2500 متری دیده می‌شود (جدول ۲ و شکل ۹) که این

می‌دانند.

### نتیجه‌گیری

- 1) بررسی‌های انجام شده در منطقه کانسار چاه‌مسی نشان می‌دهد که سنگ‌های میزبان موجود در منطقه شامل سنگ‌های آتشفسانی از نوع بازالت و آندزیت بازالتی با بافت پورفیری تا گلومروپورفیری در زمینه‌ای رسیدانه و سنگ‌های آذرآواری از نوع توف بلورین -سنگی و توف سنگی -بلورین است که در این میان، حجم بازالت‌ها از بقیه سنگ‌ها بیشتر است.
- 2) در محدوده چاه‌مسی کانی‌های پیریت، کالکوپیریت، گالن و اسفالریت سولفیدهای اصلی در ذخیره چاه‌مسی هستند. همچین در مناطق سطحی به علت عملکرد فرایندهای ثانویه، مقادیر قابل توجهی کالکوسیت و مالاکیت همراه با مقادیر کمتری کوولیت و آزویریت دیده می‌شود که اغلب با هیدروکسیدهای آهن نظیر لیمویت و گوتیت همراهی می‌شوند.
- 3) بررسی‌های صحرایی یانگر آن است که کانه‌زایی در ارتباط با شکستگی‌های منطقه بوده است؛ به نحوی که کانسار با ساختار رگه‌ای توسعه یافته است. این شکستگی‌ها، زمینه را برای واکنش سیالات گرمابی با سنگ میزبان فراهم کرده و سبب ایجاد این ذخیره اقتصادی در ارتباط مستقیم با ساختارهای گسلی شده است.
- 4) با توجه به ماتریس همبستگی پیرسون، همبستگی مثبت و قوی بین عناصر سرب و روی، نقره و طلا و به میزان کمتر مس با نقره، آهن و طلا در کانسار چاه‌مسی نشان‌دهنده شرایط مشابه تشکیل و غنی‌شدگی این عناصر است. نتایج مشابهی نیز در بررسی توزیع مکانی عناصر به دست آمده است؛ به طوری که پیشترین میزان مس انبساط قابل توجهی با میزان طلا، نقره و آهن دارد؛ در حالی که افزایش سرب و روی اغلب با هم دیده می‌شود. همبستگی ضعیف عنصر مولیبدن با دیگر عناصر مورد بررسی به خوبی یانگر نقش فرایندهای متفاوت در توزیع این عنصر است.
- 5) بررسی میانگین عیار عناصر در ترازهای 50 متری کانسار

آنچه که در کانسار چاه‌مسی دیده می‌شود، بخش زیرین هاله ژئوشیمیایی اولیه رگه بالایی می‌تواند با بخش بالایی هاله ژئوشیمیایی اولیه رگه پایینی هم‌پوشانی داشته باشد و این مسئله باعث می‌شود، هاله ژئوشیمیایی اولیه رگه‌ها در هم تداخل کرده و کار تفسیر بسیار پیچیده و در مواردی ناممکن شود. شیوه به چنین وضعیتی در رگه‌های سیلیسی حاوی کانه‌زایی فلزی در Li et al., 1995, 2016). وجود نوسانات عیار عناصر مختلف در بررسی توزیع عمیقی عناصر در گمانه‌های منتخب (شکل‌های 7 و 8) نیز به خوبی تقویت کننده هم‌پوشانی هاله ژئوشیمیایی اولیه رگه‌ها در کانسار چاه‌مسی است.

البته مسئله دیگری نیز که نباید از نظر دور داشت، رفتار ژئوشیمیایی متفاوت عنصر مولیبدن است. رفتار ژئوشیمیایی این عنصر بهشدت متأثر از میزان پیریت، pH و درجه قلیائیت سیال است (Leanderson et al., 1987)؛ به طوری که در سیستم‌های گرمابی، فراوانی پیریت و افزایش  $H^+$  تنشست مولیبدن را در ترازهای مختلف کنترل می‌کند. نکه قابل اهمیت آن است که در کانسار چاه‌مسی، پیشترین میزان مولیبدن در تراز سطحی بخش شمال‌غربی نقشه‌های ژئوشیمیایی قرار می‌گیرد (شکل 9)؛ یعنی بخشی از نقشه که خارج از محدوده اصلی کانه‌زایی واقع شده است؛ اما در بخش جنوبی نقشه یعنی در محدوده اصلی کانه‌زایی چاه‌مسی، پیشترین عیار مولیبدن در ترازهای عمیقی تر دیده می‌شود (شکل 9)، شیوه به آنچه که در کانسارهای گرمابی مورد انتظار است. این مسئله همراه با ضربیت همبستگی ضعیف عنصر مولیبدن با سایر عناصر فلزی همگی این فرضیه را تقویت می‌کند که کنترل عیار عنصر مولیبدن به ویژه در بخش شمال‌غربی، متفاوت از سایر عناصر مورد بررسی و احتمالاً تحت تأثیر pH و درجه قلیائیت سیال بوده است. مشابه با چنین وضعیتی در کانسار دره‌زار نیز گزارش شده است؛ به طوری که پارساپور و همکاران (Parsapoor et al., 2017) نیز افزایش عیار مولیبدن در افق‌های سطحی کانسار دره‌زار را به افزایش فعالیت  $H^+$  در طی تشکیل کانسار و یا بعد از آن مربوط

کانه‌زایی مس و نقره، علاوه بر ترازهای سطحی، در ترازهای عمقی تر نیز دارای تمرکزهای قابل توجهی هستند.  
 (7) بالا بودن میانگین عیار عنصر مولیبدن در ترازهای سطحی باید در ارتباط با هم پوشانی هاله‌های ژئوشیمیایی اولیه رگه‌های مختلف و یا تأثیر میزان پیریت، درجه pH و درجه قلیاتیت سیال بوده باشد.

**قدرتانی**  
 نویسنده‌گان از کارکنان محترم معدن مس میدوک به علت فراهم آوردن امکان انجام بررسی‌های صحرایی و همچنین در اختیار گذاشتن نتایج آنالیزهای شیمیایی عناصر سپاسگزاری می‌نمایند.

چاه‌می از سطحی ترین تراز (2500 متر) تا عمقی ترین تراز (2300 متر) بیانگر آن است که بیشترین مقدار مس در عمقی ترین قسمت حفاری شده است که این مسئله، ادامه عملیات حفاری را پیشنهاد می‌کند؛ اما بیشترین مقدار میانگین عناصر سرب، روی و طلا در ترازهای سطحی تر مشهود است. بیشترین مقدار میانگین نقره نیز در افق‌های 2450، 2350 و 2500 متری دیده می‌شود.

(6) بررسی توزیع عمقی عناصر در گمانه‌های انتخابی، نشان‌دهنده نوسانات عیار عناصر با افزایش عمق است. به نظر می‌رسد فراوانی رگه‌های حاوی کانه‌زایی عناصر فلزی سرب، روی و طلا اغلب در ترازهای سطحی تر رخداده است؛ در حالی که رگه‌های حاوی

## References

- Aghazadeh, M., Hou, Z., Badrzadeh, Z. and Zhou, L., 2015. Temporal-spatial distribution and tectonic setting of porphyry copper deposits in Iran: constraints from zircon U-Pb and molybdenite Re-Os geochronology. *Ore Geology Reviews*, 70: 385–406.
- Alavi, M., 1994. Tectonics of the Zagros orogenic belt of Iran: new data and interpretations. *Tectonophysics*, 229 (3–4): 211–238.
- Alavi, M., 2004. Regional stratigraphy of the Zagros folded-thrust belt of Iran and its proforeland evolution. *American Journal of Science*, 304(1): 1–20.
- Alirezaei, A., Arvin, M. and Dargahi, S., 2017. Adakite-like signature of porphyry granitoid stocks in the Meiduk and Parkam porphyry copper deposits, NE of Shahr-e-Babak, Kerman, Iran: Constraints on geochemistry. *Ore Geology Reviews*, 88: 370–383.
- Atapour, H., 2017. The Exploration Significance of Ag/Au, Au/Cu, Cu/Mo, (Ag×Au)/(Cu×Mo) Ratios, Supra-ore and Sub-ore Halos and Fluid Inclusions in Porphyry Deposits: A Review. *Journal of Sciences, Islamic Republic of Iran*, 28(2): 133–146.
- Berberian, M. and King, G.C.P., 1981. Towards a pale paleogeography and Tectonic tectonic evolution of Iran. *Canadian Journal of Earth Sciences*, 18(11): 210–265.
- Beus, A.A. and Grigorian, S.V., 1977. *Geochemical Exploration Methods for Mineral Deposits*. Applied Publishing Limited, Wilmette, Illinois, 287 pp.
- Boomeri, M., Biabangard, H. and Zeinadini, Z., 2019. Investigation of petrography, mineralogy and alteration of northern part of the Chahfiruzeh porphyry copper deposit, northwest of Shar-e-Babak, Kerman. *Journal of Economic Geology*, 11(1): 57–80. (in Persian with English abstract)
- Broderick, T.M., 1929. Zoning in the Michigan copper deposits and its significance. *Economic Geology*, 24(2): 149–162.
- Brown, W.H., 1935. Quantitative study of ore zoning at the Austinville Mine, Wythe County, Virginia. *Economic Geology*, 30(4): 425–433.
- Chen, J., Chen, R.Y., Mao, Z.X., Yang, H.Z., Zhang, C.P. and Han, R.P., 2016. Regional mineral resources assessment based on rasterized geochemical data: a case study of porphyry copper deposits in Manzhouli, China.

- Ore Geology Reviews, 74: 15–25.
- Dimitrijevic, M.D., Dimitrijevic, M.N. and Diordjevic, M., 1971. Geological map of Shaher-e-Babak, scale 1:100,000. Geological Survey of Iran.
- Ghiasi Fathabad, M., 2012. Evaluation and analysis of structural style of the Chahmesi deposit. M.Sc Thesis, Shahid Bahonar University of Kerman, Kerman, Iran, 105 pp. (in Persian with English abstract)
- Golestani, M., Karimpour, M.H., Malekzadeh Shafaroudi, A. and Haidarian Shahri, M.R., 2017. Characterization of fluid inclusions and sulfur isotopes in the Iju porphyry copper deposit, North West of Shahr-e-Babak. Journal of Economic Geology, 9(1): 25–55. (in Persian with English abstract)
- Golestani, M., Karimpour, M.H., Malekzadeh Shafaroudi, A. and Hidarian Shahri, M.R., 2018. Geochemistry, U-Pb geochronology and Sr-Nd isotopes of the Neogene igneous rocks, at the Iju porphyry copper deposit, NW Shahr-e-Babak, Iran. Ore Geology Reviews, 93: 290–307.
- Gong, Q., Yan, T., Li, J., Zhang, M. and Liu, N., 2016. Experimental simulation of element mass transfer and primary halo zone on water-rock interaction. Applied Geochemistry, 69: 1–11.
- Gross, W.H., 1956. The direction of flow of mineralizing solutions, Blykippen Mine, Greenland. Economic Geology, 51(5): 415–426.
- Harraz, H.Z., 1995. Primary geochemical haloes, El Sid gold mine, Eastern Desert, Egypt. Journal of African Earth Sciences, 20(1): 61–71.
- Harraz, H.Z. and Hamdy, M.M., 2015. Zonation of primary haloes of Atud auriferous quartz vein deposit, Central Eastern Desert of Egypt: a potential exploration model targeting for hidden mesothermal gold deposits. Journal of African Earth Sciences, 101: 1–18.
- Hezarkhani, A., 2002. Specific physico-chemical conditions (360°C) for chalcopyrite dissolution/deposition in the Sungun porphyry copper deposit, Iran. Amirkabir Journal of Scientific and Research, 13(52): 668–687.
- Hezarkhani, A., 2006. Hydrothermal evolution of the Sar-Cheshmeh porphyry Cu-Mo deposit, Iran: Evidence from fluid inclusions. Journal of Asian Earth Sciences, 28(4–6): 409–422.
- Hosseini-Dinani, H. and Aftabi, A., 2016. Vertical lithogeochemical halos and zoning vectors at Goushfil Zn-Pb deposit, Irankuh district, southwestern Isfahan, Iran: implications for concealed ore exploration and genetic models. Ore Geology Reviews, 72: 1004–1021.
- Kan Iran Consulting Engineers, 2006. Report on geological studies and alteration of the Chahmessi area. National Iranian Copper Industries Co., Tehran, 109 pp.
- Karimpour, M.H. and Sadeghi, M., 2019. A new hypothesis on parameters controlling the formation and size of porphyry copper deposits: Implications on thermal gradient of subducted oceanic slab, depth of dehydration and partial melting along the Kerman copper belt in Iran. Ore Geology Reviews, 104: 522–539.
- Leanderson, P.J., Schrader, E.L., Brake, S. and Kaback, D.S., 1987. Behavior of molybdenum during weathering of the Ceresco Ridge porphyry molybdenite deposit, Climax, Colorado and a comparison with the Hollister deposit, North Carolina. Applied Geochemistry, 2(4): 399–415.
- Li, H., Wang, Z.N. and Li, F.G., 1995. Ideal models of superimposed primary halos in hydrothermal gold deposits. Journal of Geochemical Exploration, 55(1–3): 329–336.
- Li, Y., Zhang, D., Dai, L., Wan, G. and Hou, B., 2016. Characteristics of structurally superimposed geochemical haloes at the polymetallic Xiasai silver-lead-zinc ore deposit in Sichuan Province, SW China. Journal of Geochemical Exploration, 169: 100–122.
- Mirzababaei, G., Shahabpour, J., Zaravandi, A. and Hayatolgheyb, S.M., 2016. Structural controls on Cu metallogenesis in the Dehaj Area, Kerman Porphyry Copper Belt, Iran: A remote sensing perspective. Journal of Sciences, Islamic Republic of Iran, 27(3): 253–267.
- Modrek, H., 2009. Mineralization, alteration and nature of ore fluids in Chahmessi polymetallic deposit & its relation to Miduk porphyry copper deposit. M.Sc Thesis, Shahid Beheshti University, Tehran, Iran, 174 pp. (in Persian with English abstract).

- Mohajel, M., Fergusson, C.L. and Sahandi, M.R., 2003. Cretaceous–Tertiary convergence and continental collision Sanandaj–Sirjan zone, Western Iran. *Journal of Asian Earth Sciences* 21(4): 397–412.
- Mohammaddoost, H., Ghaderi, M., Kumar, T.V., Hassanzadeh, J., Alirezaei, S., Stein, H.J. and Babu, E.V.S.S.K., 2017. Zircon U–Pb and molybdenite Re–Os geochronology, with S isotopic composition of sulfides from the Chah-Firouzeh porphyry Cu deposit, Kerman Cenozoic arc, SE Iran. *Ore Geology Reviews*, 88: 384–399.
- Mohammadi, M., Nabatian, G., Honarmand, M. and Ebrahimi, M., 2019. Geology and Origin of the Dohnesh Copper Mineralization, Northeast of Zanjan. *Journal of Economic Geology*, 11(3): 497–524. (in Persian with English abstract)
- Parsapoort, A., Khalili, M. and Maghami, M., 2017. Discrimination between mineralized and unmineralized alteration zones using primary geochemical haloes in the Darreh-Zar porphyry copper deposit in Kerman, southeastern Iran. *Journal of African Earth Sciences*, 132: 109–126.
- Shahabpour, J., 2007. Island-arc affinity of the Central Iranian Volcanic Belt. *Island-arc affinity of the Central Iranian Volcanic Belt*. *Journal of Asian Earth Science*, 30(5–6): 652–665.
- Shahabpour, J. and Kramers, J.D., 1987. Lead isotope data from the Sar-Cheshmeh porphyry copper deposit, Iran. *Mineralium Deposita*, 22 (4): 278–281.
- Shao, Y., 1997. Rock Measurements (Primary Halo Method) in the Hydrothermal Deposits Prospecting. Geological Publishing House, Beijing, China, 145 pp. (in Chinese)
- Sojdehee, M., Rasa, I., Nezafati, N., Abedini, M.V., Madani, N. and Zeinedini, E., 2015. Probabilistic modeling of mineralized zones in Daralu copper deposit (SE Iran) using sequential indicator simulation. *Arabian Journal of Geosciences*, 8(10): 8449–8459.
- Taghipour, N., Aftabi, A. and Mathur, R., 2008. Geology and Re-Os geochronology of mineralization of the miduk porphyry copper deposit, Iran. *Resource Geology*, 58(2): 143–160.
- Talesh Hosseini, S., Asghari, O. and Ghavami Riabi, S.R., 2018. Spatial modelling of zonality elements based on compositional nature of geochemical data using geostatistical approach: a case study of Baghqloom area, Iran. *Journal of Mining and Environment*, 9(1): 153–167.
- Wang C., Carranza, E.J.M., Zhang, S., Zhang, J., Liu, X., Zhang, D., Sun, X. and Duan, C., 2013. Characterization of primary geochemical haloes for gold exploration at the Huanxiangwa gold deposit, China. *Journal of Geochemical Exploration* 124: 40–58.
- Whitney, D.L. and Evans, B.W., 2010. Abbreviations for names of rock-forming minerals. *American Mineralogist*, 95(1): 185–187.
- Yongqing, C. and Pengda, Z., 1998. Zonation in primary halos and geochemical prospecting pattern for the Guilaizhuang gold deposit, eastern China. *Nonrenewable Resources*, 7(1): 37–44.
- Zarasvandi A., Samani B., Pourkaseb H., Khorsandi, Z. and Jalili, Y., 2015. Investigation of Regional Fractures and Cu Mineralization Relationships in the Khezrabad and Shahr-e-Babak Area: Using Fry and Fractal analysis. *Journal of Economic Geology*, 7(2): 385–402. (in Persian with English abstract)



## Dispersion and distribution of trace and ore elements in the polymetallic vein-type Chah-Mesi ore deposit, north of Shahre-Babak

Sara Dargahi\*, Maryam Sarvarizadeh and Mohsen Arvin

*Department of Geology, Faculty of Sciences, Shahid Bahonar University of Kerman, Kerman, Iran*

Submitted: Mar. 22, 2018

Accepted: Nov. 10, 2019

**Keywords:** Correlation coefficient, Zonality, Vein-type ore deposits, Polymetal, Chah-Mesi, Urumieh-Dokhtar magmatic arc

### Introduction

The Chah-Mesi polymetallic vein-type ore deposit, located 40 km north of Shahre-Babak city and 1.5 km southwest of Miduk porphyry copper deposit, is situated in the Dehaj-Sardueh belt as a part of the Urumieh-Dokhtar magmatic Arc (UDMA) (Figure 1).

The main objectives of this research study are to investigate: (1) characterization of multi-element distribution associated with Cu mineralization, in order to demonstrate prediction of elemental concentration applied to identify high-grade ore bodies, (2) evaluating the interrelationships between copper, molybdenum, iron, lead, zinc, gold and silver.

### Materials and methods

Petrography and mineralography of the Chah-Mesi ore deposit were carried out using thin and polished sections. More than 980 chemical analyses of samples collected from 35 boreholes of the National Iranian Copper Industry Company (NICICO) were implemented to evaluate the statistical as well as spatial distribution and dispersion of multi-element halos. Geochemical data processing was performed by applying Excel (2010), SPSS (19), Datamine (Studio3.22.84.0) and Surfer10 (2011) software packages.

### Results

The Chah-Mesi ore deposit consists of four main and some minor polymetallic (Cu-Pb-Zn-Ag) quartz-sulfide veins, with NE-SW and N-S

trending and 65-80 degree dipping, which intersected the Eocene volcanic and pyroclastic sequences (Figure 2). It seems that mineralization has mainly occurred along these quartz-sulfide veins overlaid by Quaternary alluvium. Based on rock outcrops, the prominent mineralization has been controlled by structural features including faults and fractures that provided proper conditions for reaction of hydrothermal fluids with the host rocks.

In the Chah-Mesi ore deposit, silicified veins containing poly-metallic mineralization have predominantly occurred along the main faults and shear zones. The intensity of argillic alteration dramatically decreases outward from the mineralized quartz veins (Figure 3). Propylitic alteration which is composed of calcite and chlorite minerals has extended in the peripheral zones and does not represent a clear relationship with Cu mineralization.

The main host rocks in the Chah-Mesi ore deposit consist of basalt to basaltic andesite, with porphyry to glomeroporphyry textures, and to a lesser extent of pyroclastic rocks (Figure 4). The ore bodies are mainly composed of pyrite, chalcopyrite, sphalerite and galena. The ore minerals are accompanied with chalcocite, malachite, covellite, azurite and iron hydroxides that have been formed during supergene and weathering processes (Figure 5). According to field surveys, structural controls have played an important role in the mineralization of the Chah-Mesi ore deposit.

\*Corresponding author Email: s.dargahi@uk.ac.ir

## Discussion

Geochemical investigation in the Chah-Mesi ore deposit, using Pearson correlation coefficient of trace elements (Table 1), indicated the highest correlation coefficient (more than 0.7) between Pb-Zn and Ag-Au elements, due to their similar geochemical affinities during epigenetic mineralization. Other significant correlations were observed between Cu-Ag, Cu-Fe, Cu-Au and Fe-Ag with a correlation coefficient of more than 0.6; while the Mo shows weak correlation with other elements.

Based on cluster analysis, the trace elements that are associated with mineralization can be classified into four main clusters of Pb-Zn, Mo, Cu-Fe-Ag and Au (Figure 6). Noteworthy, despite the fact that Mo and Au each separately form their individual clusters, Au still shows some proximities with the Cu-Fe-Ag cluster that indicate their genetic relationship. However, Mo displays the most dissimilarity with other clusters, which indicates the role of different processes in its distribution. The results of this analysis are well in line with correlation coefficients.

The geochemical vertical zonality of trace elements in the Chah-Mesi ore deposit were studied using four borehole data from different parts of the ore deposit (Figures 7 and 8). This demonstrated that variation of elements at different depths does not follow a uniform pattern due to differences in the type and amount of ore minerals in the veins.

The veins containing lead, zinc and gold mineralization are highly abundant at the shallower levels based on geochemical maps of the Chah-Mesi ore deposit (Figure 9). In contrast, the veins containing copper and silver mineralization have been considerably developed in both shallow and deeper levels. The high degree of Mo at shallow levels seems to occur due to either superimposition of primary geochemical haloes of various veins (Li et al., 1995, 2016) and/or the effect of amount of pyrite, pH, and

alkalinity contents of hydrothermal fluids (Leanderson et al., 1987).

The average value of different elements in intervals of 50 meters from the shallow (2500 meters) to the deep (2300 meters) levels are determined by existence of maximum abundance of lead, zinc and gold elements at surface levels. However, the highest average abundance of copper occurs in the deepest level. The highest average value of silver is also located in the 2450, 2350, and 2500 meters levels, which is economically valuable (Table 2). Therefore, the continuation of drilling in the southern part of the Chah-Mesi ore deposit into deeper levels is strongly recommended as there may still exist more concentrations of copper and silver there.

## Acknowledgment

The authors are grateful to the honorable personnel of the Miduk Copper Mine for their efforts in providing field studies and access to geochemical analyses.

## References

- Leanderson, P.J., Schrader, E.L., Brake, S. and Kaback, D.S., 1987. Behavior of molybdenum during weathering of the Ceresco Ridge porphyry molybdenite deposit, Climax, Colorado and a comparison with the Hollister deposit, North Carolina. *Applied Geochemistry*, 2(4): 399–415.
- Li, H., Wang, Z.N. and Li, F.G., 1995. Ideal models of superimposed primary halos in hydrothermal gold deposits. *Journal of Geochemical Exploration*, 55(1–3): 329–336.
- Li, Y., Zhang, D., Dai, L., Wan, G. and Hou, B., 2016. Characteristics of structurally superimposed geochemical haloes at the polymetallic Xiasai silver-lead-zinc ore deposit in Sichuan Province, SW China. *Journal of Geochemical Exploration*, 169: 100–122.